

九州大学工学部 正員 上田年比古

・ ○ 埼口英昭

・ 学生員 与田博恭

1. 緒言

潜り堰に関する流量公式については2,3の実験的研究があるが、それは完全越流堰における流量公式の延長としてとらえられ、単に越流係数を実験的に検討することのみにとどまっている。しかし潜り堰における堰近傍の流れは非常に複雑であり、その流れの特性が解明されなければ理論的な流量公式を導くことはできないであろう。また堰近傍の流れは堰の形状による影響が最も大きいと考えられるので種々のタイプの堰の比較検討が必要であるが、ここではその一環としてゆのうすい板状の堰において、下流側の流れの特性を、拘束された流れの場合における噴流や類似の現象としてとらえ、橋平野<sup>(1)</sup>による段落部の解析を参考として若干の実験を考察を行なり、さらにこれらの結果を利用して薄板潜り堰の流量算定式について検討した。

2. 実験装置と方法

実験は図-1に示す中60cm、深さ65cm、長さ20mのアクリルライト張り水路で行なり、水位測定は傾斜2/1メータにより、また流速測定はピトー管と小型プロペラ流速計(至1cm)を使用した。堰近傍のはく離は流速計のプロペラの回転方向を調べる同時に、色素を流して写真撮影を行い測定した。また reattaching point は、水路底にはりつけた糸の巻き方とプロペラ流速計の回転方向を調べることにより測定した。

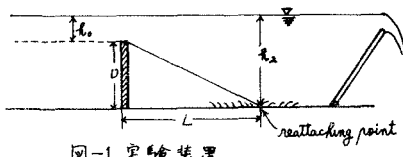


図-1 実験装置

3. 堤頂付近のはく離形状

堰頂上流端を基準として、堰頂付近のはく離形の実測値を示したのが図-2である。ここに、Dは堰の高さ、Yは堰頂面上流端からの高さ、R<sub>o</sub>は越流水深(堰上流側70cmの位置)、Xは堰上流端からの流下方向の距離である。いまのはく離高さの最大の点Pの位置をX<sub>d</sub>、Y<sub>d</sub>とすれば、ほぼ

$$\left. \begin{aligned} X_d/R_o &\approx 0.6 \\ Y_d/R_o &\approx 0.12 \end{aligned} \right\} \quad \text{---(1)}$$

またP点で水深は最小となり、Pから下流部でははく離境界はほぼ直線的に低下している。なお、志村<sup>(2)</sup>は、角のある広頂堰の流入部のはく離測定結果より、 $X_d/R_o \approx 0.45$ 、 $Y_d/R_o \approx 0.18$ という(1)式を近似した値を報告している。

4. 是く離最高点より下流部の流れ

はく離最高点Pでは流線はほぼ平行となると考えられるので、これより下流部の流れは図-3

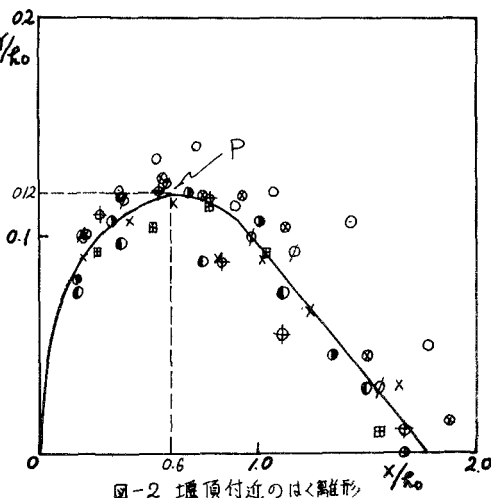


図-2 堤頂付近のはく離形

の G P E に段落部をもつ流れに類似するものと考えられる。したがっていま

段落部の研究で得られた解析モデル（段落部から下流部を拘束された流れの場の噴流をみなし）ではなく離最高点以後に用いることにする。図-3 のようになる。ここに A P I が Potential core, P C がはく離境界線, C が re-attaching point (はく離境界線と水路底との接点) である。噴流域における流速分布の相似性を仮定する。

$$\text{噴流域} (0 \leq y \leq b) : u/u_{\max} = f_1(\gamma), \gamma = 1 - \frac{y}{h}$$

$$\text{逆流域} (b \leq y \leq h) : u/u_{\max} = f_2(\gamma, \xi), \gamma = (y-b)/(h-b), \xi = x/h_{\min} \quad \dots (2)$$

断面  $S_0$  および  $S_0'$  連続の式と運動量の式を適用する。

$$\frac{u_{\max}}{U_0} \cdot \frac{b}{h_{\min}} C_1 - \frac{U_0}{u_{\max}} \cdot \frac{h-b}{h_{\min}} D_1 = 1 \quad \dots (3)$$

$$\left( \frac{u_{\max}}{U_0} \right)^2 \frac{b}{h_{\min}} C_2 + \left( \frac{U_0}{u_{\max}} \right)^2 \frac{h-b}{h_{\min}} D_2 = \beta_0 + \frac{1}{2F_0^2} \left[ \left( 1 + \frac{h_d}{h_{\min}} \right)^2 - \left( \frac{h}{h_{\min}} \right)^2 \right] \quad \dots (4)$$

$U_0$ : 断面  $S_0$  における平均流速,  $h_{\min}$ : 断面  $S_0$  における P からの水深,  $\beta_0$ : 断面  $S_0$  における運動量補正係数,  $F_0 = U_0/g h_{\min}$ ,  $C_1 = \int_0^1 f_1(\gamma) d\gamma$ ,  $C_2 = \int_0^1 f_2(\gamma, \xi) d\gamma$ ,  $D_1 = \int_0^1 f_1(\gamma) d\gamma$ ,  $D_2 = \int_0^1 f_2(\gamma, \xi) d\gamma$

### 5. 流速分布の相似性

図-4 は堰下流 50cm, 1m, および reattaching-point における噴流域内の流速分布の実測値を示している。これによると堰下流 1m, および re-attaching point における流速分布は, Tollmien による自由噴流の流速分布曲線にかなり良く一致している。なお堰下流 50cm における実測値が, Tollmien の曲線よりも大きい値を示しているのは,まだ potential core が存在して噴流が充分に発達していないからそのためと考えられる。したがって, potential core が消滅し, 噴流が発達した部分に対しては近似的には流速分布の相似性を仮定することができるであろう。

### 6. 表面流速の減衰

式(3),(4)より  $U_0$  を消去する。

$$\frac{u_{\max}}{u_{\max}} = \frac{\beta_3}{U_0 C_1 C_2} \frac{1}{X} + \frac{1}{U_0} \sqrt{\frac{\beta_3}{C_2 \beta_8}} \sqrt{X - \beta_8 \beta_3 / C_2} \quad \dots (5)$$

$$X = h_* - \beta_8 (1 - \beta_3 / \beta_2) + \Delta h / h_{\min}, \beta'_0 = \beta_0 + \frac{h_* \Delta h}{F_0^2 h_{\min}}, \beta_8 = \ell / h_{\min}$$

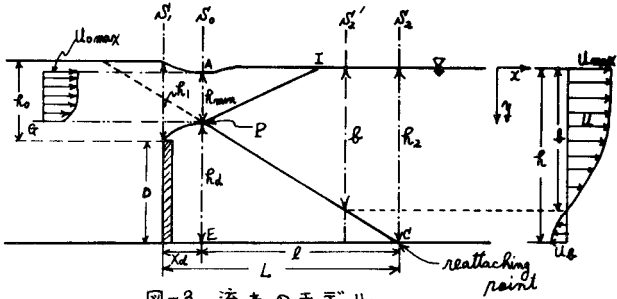


図-3 流れのモデル

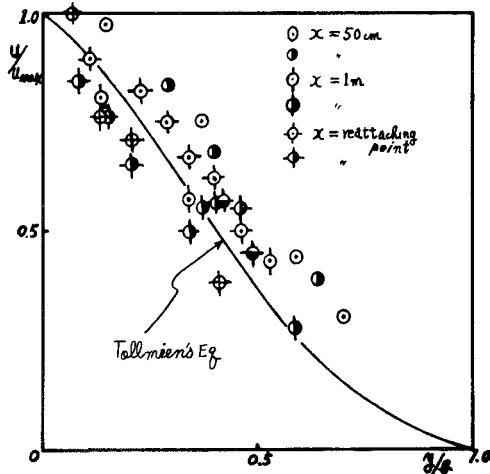


図-4 噴流域内流速分布

$$h_* = 1 + h_0/h_{\min}, \quad \beta_2 : 噴流域運動量補正係数で \beta_2 = C_2/C_1^2, \quad \Delta h = h_2 - (h_{\min} + h_0), \quad \gamma_0 = U_{0\max}/U_0$$

図-5は、(5)式によつて計算された表面流速の逆減特性（但し  $\beta_0 = 1.03$ ,  $\beta_2 = 1.65$ ,

$l_0/h_0 = 1.3$ ,  $\gamma_0 = 1.13$ ）および、表面流速の実測値を示してゐる。これによると実測値と計算値はほぼ同じ傾向を示してゐる。実測値は  $h_0/h_{\min}$  が小ていゝ程、逆減が早く始まる傾向を示してゐるが、これは段落部における逆減特性を一致する。Potential core の領域においては  $U_{0\max}/U_{0\max} \approx 1.1$  であり、石原や椿らの実験結果  $U_{0\max}/U_{0\max} \approx 1.0$  よりもやや大きな値を示すようである。

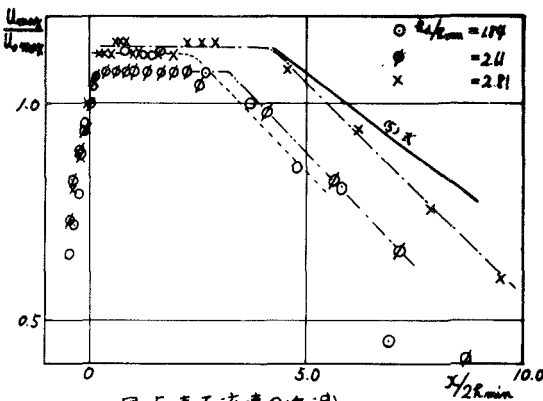


図-5 表面流速の逆減

#### 7. はく離領域の長さ

reattaching point においては  $\delta = h_2 = h_0$  であるから、式(3),(4)より  $U_{0\max}/U_0$  を消去すると

$$\frac{h_2}{h_{\min}} = \sqrt{h_*^2 + 2F_0^2\beta_0 - 2F_0^2\beta_2/(h_* + \Delta h/h_{\min})} \quad \text{----- (6)}$$

図-6に  $l/h_{\min}$  と  $h_2/h_{\min}$  の実測値を示す。椿らは、(6)式より計算した  $h_2/h_{\min}$  と  $l/h_{\min}$  の実測値を検討して、

$$\frac{l}{h_{\min}} = 7.3 \left( \frac{h_2}{h_{\min}} - 1 \right) \quad \text{----- (7)}$$

という実験式をえているが、本実測値とよく合つてゐる。したがつて堰から reattaching point までののはく離領域の長さ L は、近似的に

$$L = X_d + l = 0.6h_0 + 7.3(h_2 - h_{\min}) \quad \text{----- (8)}$$

となる。また(6)式にありて  $F_0^2 \rightarrow 0$  の場合には、 $h_2/h_{\min} \approx h_*$ 、したがつて

$$L \approx 0.6h_0 + 7.3h_* \approx 7.3D + 1.5h_0 \quad \text{----- (8)'}$$

となり、実用的にはく離領域の長さは(8)'式により算定してよいであろう。

#### 8. 潜り堰の流量算定式について

断面  $A_1$  と  $A_2$  において運動量の式を適用すると、

$$\frac{1}{2}(h_1 + D)^2 f + \beta_1 U_1^2 h_1 f = \frac{1}{2}h_2^2 f + \beta_2 U_2^2 h_2 f \quad \text{----- (9)}$$

ここに  $f$ ：水路中、 $\beta_i$ ：断面  $A_i$  における運動量補正係数、 $U_i$ ：断面  $A_i$  における平均流速、 $U_2$ ：断面  $A_2$  における平均流速である。ここで  $h_1/h_2 = \alpha$   $D/h_2 = K$  とおくと、(9)式は

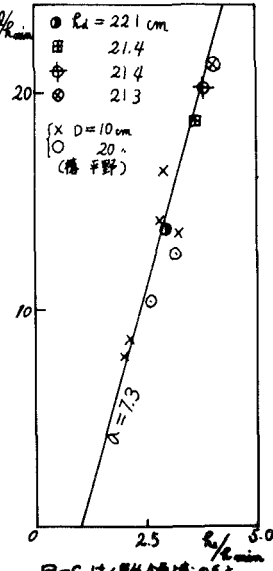


図-6 はく離領域の長さ

$$\alpha^3 + 2K\alpha^2 + (K^2 - 2\beta_2 F_2^2)\alpha + 2\beta_1 F_2^2 = 0 \quad \dots \dots \dots (10)$$

$F_2^2 = U_2^2/gR_2$  である。この3次方程式の解は、 $(Y_3 \cdot P)^3 > (Y_2 \cdot g)^2$  の場合、

$$\left. \begin{aligned} d_1 &= -\frac{2}{3}K - 2\sqrt{\frac{1}{3}(1+2\beta_2 F_2^2 + \frac{K^2}{3})} \cdot \cos \frac{\varphi}{3} \\ d_2 &= -\frac{2}{3}K - 2\sqrt{\frac{1}{3}(1+2\beta_2 F_2^2 + \frac{K^2}{3})} \cdot \cos(\frac{\varphi}{3} + 120^\circ) \\ d_3 &= -\frac{2}{3}K - 2\sqrt{\frac{1}{3}(1+2\beta_2 F_2^2 + \frac{K^2}{3})} \cdot \cos(\frac{\varphi}{3} + 240^\circ) \end{aligned} \right\} \quad \dots \dots \dots (11)$$

但し、  
 $\left( P = \frac{1}{3}K^2 + 2\beta_2 F_2^2 + 1, \quad \cos \varphi = \frac{\frac{1}{2}g}{\{\frac{1}{3}P\}^{3/2}} \right)$

次に、接近流速を無視するベルヌーイの定理より流量Qは

$$Q = gR_0 \sqrt{2g/\eta_1} (R_0 - R_1) = g \sqrt{2g/\eta_1} \cdot R_0^{3/2} \cdot R_0/R_0 \cdot \sqrt{1 - R_1/R_0} \quad \dots \dots \dots (12)$$

$\eta_1$ : 断面 $A_1$ における運動量補正係数、ここで  $\delta = (R_2 - D - R_1)/R_2 = 1 - (K + d)$  とおく

$$R_1 = (R_2 - D) \{ (1 - \delta) - \delta \cdot \frac{D}{R_2 - D} \} \quad \dots \dots \dots (13)$$

(12),(13)式より

$$Q = g \sqrt{2g/\eta_1} R_0^{3/2} (1 - \delta - \delta \cdot \frac{D}{R_2 - D}) \frac{R_2 - D}{R_0} \sqrt{1 - (1 - \delta - \delta \cdot \frac{D}{R_2 - D}) \frac{R_2 - D}{R_0}} \quad \dots \dots \dots (14)$$

したがって、まず反復して(14)式を計算し、その正根のうち大きいものを取りて(14)式よりQを計算するという試算を行うことにより流量を計算できる。また下流水位( $R_2$ )の測定位置は、今まで統一された適用がなされておらず、運動量補正係数もあまり考慮されていないからだ。ここではその測定位置として reattaching point (断面 $A_2$ )とする。堰から reattaching point までの距離は(8)'式によつて算定できる。また $A_2$ における運動量補正係数は図-4のデータより計算でき、 $\beta_2 \approx 1.65$  となる。越流水の流入部(断面 $A_1$ )においては表面流速よりも堰頂付近の流速がかなり大きく、吉川らの実測値より $\eta_1, \beta_1$ を計算すると  $\eta_1, \beta_1 \approx 1.4$  となる。以上の考察より一例として  $R_0 = 9.65\text{cm}, R_2 = 29.66\text{cm}, D = 2.0\text{cm}$  の場合について計算してみると、計算値  $Q = 0.116\text{m}^3/\text{s}$  に対して実測流量  $Q = 0.10\text{m}^3/\text{s}$  となり、かなり良い結果がえられた。

## 9.まとめ

以上を要約すると、堰下流部の流れでは般湯部の流れと同様に噴流と類似の現象として取扱うことができ、それによって流量算定式における下流水深測定位置、運動量補正係数などと明確にすることができ比較的良好な流量算定を行なうことができるようになつた。なお今回の実験ならびに考察を行なうにあたりて、九州大学水工土木学教室橋東一郎教授および助手平野宗夫氏に有益な御助言をいただいた。ここに深謝いたします。また本研究は文部省科学研完費の補助を受けた。ここに深謝申上げる。

## 参考文献:

- 1) 橋・平野：段落部における流れの特性と浮遊砂のまきみについて、土木学会年譲(1944.)
- 2) 志村：舟のある広頂ゼキ流入部の流れの構造、農業土木学会論文集13号
- 3) 石原・志方：闸水路急拡部の水理学的性状に関する研究、土木学会論文集第118号(1941.4)